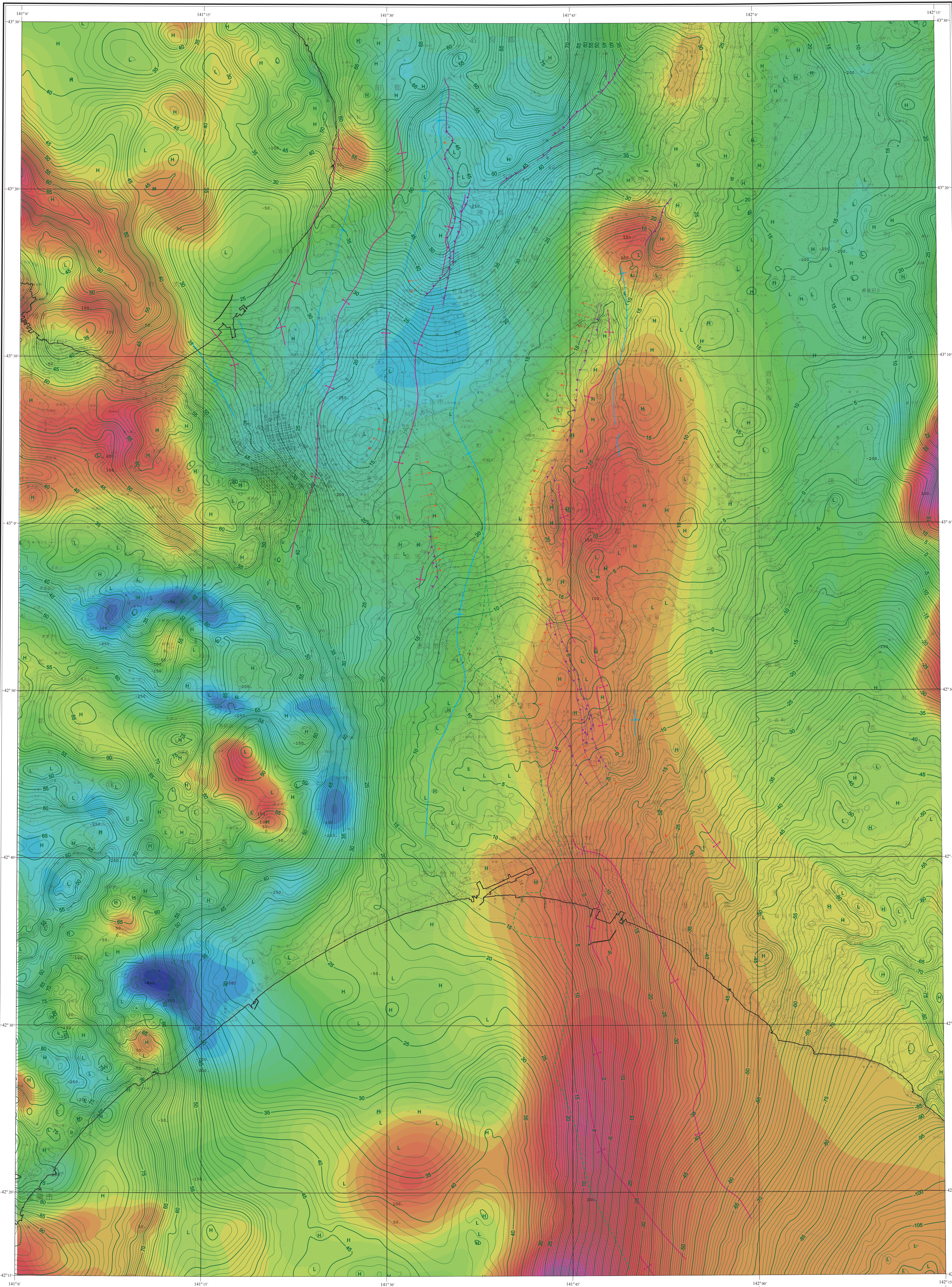


石狩低地帯及び周辺地域の 20 万分の 1 空中磁気 - 重力図

1 : 200,000 AEROMAGNETIC MAP WITH GRAVITY CONTOURS OF THE ISHIKARI DEPRESSION AND ITS SURROUNDING AREA

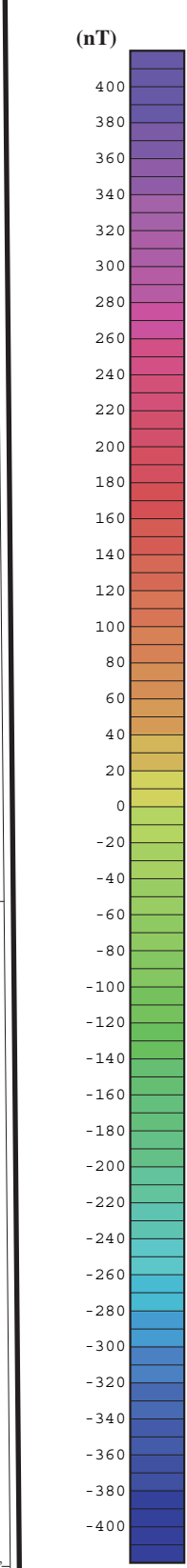
重力図作成: 駒澤正夫・大熊茂雄・上崎正人 平成 25 年
空中磁気図作成: 大熊茂雄・中塚 正 平成 25 年

Gravity map compiled by Masao KOMAZAWA, Shigeo OKUMA and Masato JOSHIMA in 2013
Aeromagnetic map compiled by Shigeo OKUMA and Tadashi NAKATSUKA in 2013



等重力線(1980年正規重力式に基づく
ブローグナー異常)
既定帯幅2.5g/cm: 1ミリの距離
Gravity contour (Bouguer anomalies
based on the Normal Gravity Formula
(1980))
Assumed density 2.3 g/cm³,
contour interval 1 milligal

H 高重力域
Area of higher gravity
L 低重力域
Area of lower gravity



著作権所有・発行者 独立行政法人 産業技術総合研究所 地質調査総合センター
平成 26 年 9 月 30 日発行

1 : 200,000
0 5 10 15 20 km

GEOLOGICAL SURVEY OF JAPAN, AIST © 2014
AIST 14-G25029

この地質情報集の作成に当たっては、国土院の承認を得て、同院発行の20万分の1の地質図及び数値地質図200000(地図情報)を使用しました。(承認番号 平25情地 第851号)
また、海底地形は、(財)日本水産協会の海底地形デジタルデータM7000(津軽海峡東部及びM7009(北海道西部)により作成。
海上保安庁許可第202041号(海図製法第25号に基づく複製(再複製))。本図は海図ではありませぬので航海には使用できません。
Base from the Geospatial Information Authority of Japan and the Japan Coast Guard with their approval.
This information is not intended for navigational purposes.

活断層(主として後期更新世以降に活動したもの)
Reverse active faults (mainly acted in the Late Pleistocene and Holocene).
Triangle dense upthrown side of reverse fault.
二次活断層(主として後期更新世以降に活動したもの)
Secondary reverse active faults (mainly acted in the Late Pleistocene and Holocene).
Triangle dense upthrown side of reverse fault.

石狩低地帯東縁断層帯の存在低角逆断層のフロント(7は推定)
Front of concealed low-angle thrust fault of the Eastern Boundary Fault.
Zone of the Ishikari Lowland (Question marks where inferred).

活断層(点線は伏在)
Active syncline, dotted where concealed.
活断層(点線は伏在)
Active anticline, dotted where concealed.

緯度経度は世界測地系によります。
Latitude and longitude values are realised with respect to the International Terrestrial Reference Frame (ITRF).
地質図はユークレーム座標系によります。
Map projection is the Universal Transverse Mercator coordination system.